

Manuel de Validation

Fascicule V7.22 : Thermo-mécanique statique non linéaire des structures volumiques
Document : V7.22.105

HSNV105 - Plaque en traction-cisaillement : élasto-viscoplasticité avec métallurgie

Résumé :

Ce test de mécanique quasi-statique non linéaire consiste à charger en traction-cisaillement une plaque carrée. Il est largement inspiré des tests SSNP14 [V6.03.104] et SSNP15 [V6.03.105] issus du guide VPCS. La relation de comportement qu'on valide ici est une relation de comportement élasto-viscoplastique qu'on a introduite dans le *Code_Aster* pour les analyses mécaniques prenant en compte la métallurgie. C'est une loi isotrope de type Norton-Hoff avec un écrouissage additif pouvant être restauré.

La température et l'état métallurgique sont constants, on ne considère donc ni plasticité de transformation ni restauration d'écrouissage métallurgique. On ne considère pas non plus de restauration visqueuse de l'écrouissage.

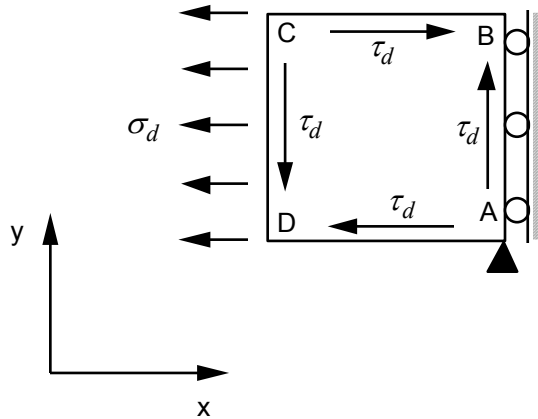
La plaque est modélisée par un élément volumique (HEXA8).

Les résultats obtenus par le *Code_Aster* sont très proches de la solution analytique de référence (écart < 0.04%).

1 Problème de référence

1.1 Géométrie

Plaque carrée



1.2 Propriétés de matériaux

Elasticité isotrope

$E = 195\,000 \text{ MPa}$

$\nu = 0.3$

Relation de comportement élasto-viscoplastique.

$\eta = 600 \text{ MPa.s}^n$

$n = 3.5$

$\sigma_c = 0. \text{ MPa}$

$c = 0. \text{ (pas de restauration visqueuse de l'écoulement)}$

$m = 20.$

1.3 Conditions aux limites et chargements

En A : $u_x = u_y = 0$

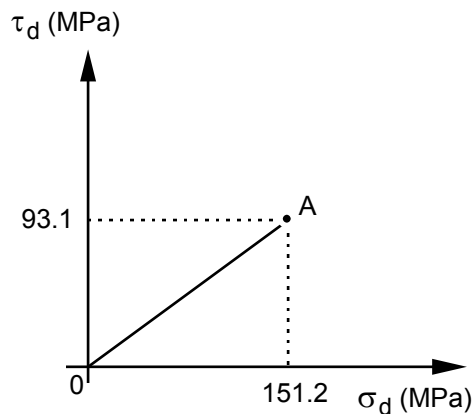
Sur le côté AB : $u_x = 0$

On impose uniformément sur la structure une température $T = 750^\circ\text{C}$

et la TRC est telle que l'état métallurgique correspondant à cette température est 100% ferritique.

Chargement :

Trajet OA ci-dessous de $t = 0$ à $t = 10 \text{ s}$ puis maintien en A jusqu'à $t = 60 \text{ s}$



2 Solution de référence

2.1 Méthode de calcul utilisée pour la solution de référence

Etant donnée la nature des sollicitations, la solution (contraintes σ , déformations ε et déformation plastique cumulée p) est homogène. En un point du trajet de chargement OA, on obtient :

$$\begin{aligned}\sigma_{xx} &= \sigma_d \\ \sigma_{xy} &= \tau_d \\ \sigma_{eq} &= \sqrt{\sigma_d^2 + 3\tau_d^2}\end{aligned}$$

La déformation élastique vaut :

$$\begin{aligned}\varepsilon_{xx}^e &= \frac{1}{E} \sigma_d \\ \varepsilon_{xy}^e &= \frac{1+\nu}{E} \tau_d \\ \varepsilon_{yy}^e &= -\nu \varepsilon_{xx}^e\end{aligned}$$

La déformation viscoplastique vaut :

si $\sigma_{eq} - R - \sigma_c > 0$:

$$\begin{aligned}\dot{\varepsilon}_{xx}^{vp} &= \dot{p} \frac{\sigma^D}{\sigma_{eq}} \\ \dot{\varepsilon}_{xy}^{vp} &= \frac{3}{2} \dot{p} \frac{\tau^D}{\sigma_{eq}} \\ \dot{\varepsilon}_{yy}^{vp} &= -\frac{1}{2} \dot{\varepsilon}_{xx}^{vp}\end{aligned}$$

$$\text{avec } \dot{p} = \left(\frac{\sigma_{eq} - R - \sigma_c}{\eta} \right)^n \quad \text{où } R = R_0 p$$

$$\text{si } \sigma_{eq} \leq \sigma_c : \quad \dot{p} = 0 \quad \dot{\varepsilon}_{xx}^{vp} = 0 \quad \dot{\varepsilon}_{xy}^{vp} = 0 \quad \dot{\varepsilon}_{yy}^{vp} = 0$$

Enfin, la déformation totale est :

$$\begin{aligned}\varepsilon_{xx} &= \varepsilon_{xx}^e + \varepsilon_{xx}^{vp} \\ \varepsilon_{xy} &= \varepsilon_{xy}^e + \varepsilon_{xy}^{vp} \\ \varepsilon_{yy} &= \varepsilon_{yy}^e + \varepsilon_{yy}^{vp}\end{aligned}$$

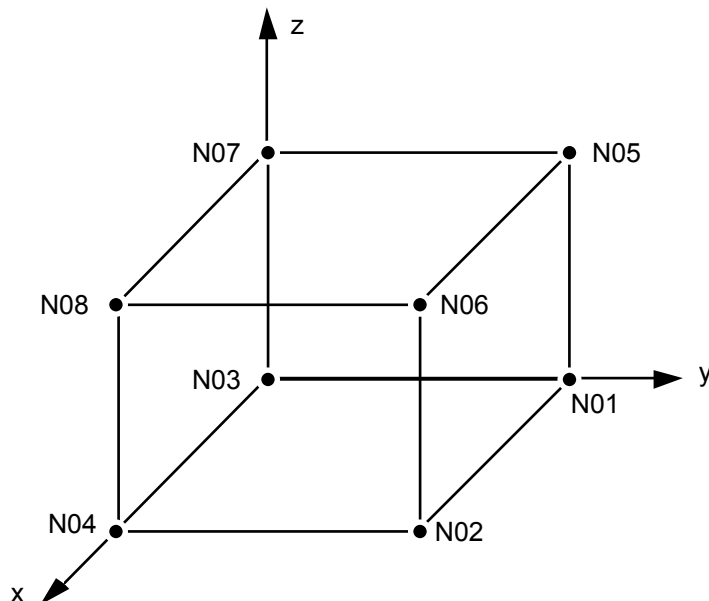
La solution de référence est obtenue en utilisant un programme écrit en fortran qui effectue une résolution pas à pas du problème avec un schéma de discrétisation implicite.

2.2 Résultats de référence

On s'intéressera aux valeurs des contraintes et des déformations au point A du trajet de chargement aux instants $t = 10$ s et $t = 60$ s

3 Modélisation A

3.1 Caractéristiques de la modélisation



Le chargement et les conditions aux limites sont modélisés par :

DDL_IMPO: (NOEUD: N04, DX: 0., DY:0.)

DDL_IMPO: (NOEUD: N08, DX: 0., DY:0., DZ:0.)

DDL_IMPO: (NOEUD: N02, DX: 0.)

DDL_IMPO: (NOEUD: N06, DX: 0.)

FORCE_NODALE: (NOEUD: (N01 N03 N05 N07), $FX: -\frac{1}{4} \sigma_d(t)$, $FY: -\frac{1}{4} \tau_d(t)$)

FORCE_NODALE: (NOEUD: (N03 N04 N07 N08), $FX: -\frac{1}{4} \tau_d(t)$)

FORCE_NODALE: (NOEUD: (N02 N04 N06 N08), $FY: \frac{1}{4} \tau_d(t)$)

FORCE_NODALE: (NOEUD: (N01 N02 N05 N06), $FX: \frac{1}{4} \tau_d(t)$)

On impose de plus une température uniforme sur la structure valant à tout instant : $T = 750^\circ\text{C}$ à l'aide de l'opérateur AFFE_CHAM_NO.

3.2 Caractéristiques du maillage

Nombre de nœuds : 8
Nombre de mailles et type : 1 HEXA8

3.3 Fonctionnalités testées

Commandes

DEFI_MATERIAU	META_THER	
THER_LINEAIRE	OPTION	META_ELGA_TEMP
DEFI_MATERIAU	META_VISC_FO	ETA
		N
		C
		M
AFFE_CHAR_MECA	FORCE_NODALE	NOEUD
STAT_NON_LINE	COMP_INCR	RELATION
		META_EVP
CALC_ELEM	OPTION	EPSI_ELNO_DEPL

4 Résultats de la modélisation A

4.1 Valeurs testées

Variables	Instants (S)	Référence	Aster	% différence
ε_{xx}	10	2.4333E-2	2.4337E-2	0.018%
ε_{yy}	10	-1.2011E-2	-1.2014E-2	0.018%
ε_{xy}	10	2.2379E-2	2.2383E-2	0.019%
ε_{xx}	30	5.2103E-2	5.2118E-2	0.029%
ε_{yy}	30	-2.5896E-2	-2.5903E-2	0.029%
ε_{xy}	30	4.8027E-2	4.8041E-2	0.029%
ε_{xx}	60	5.9557E-2	5.9576E-2	0.032%
ε_{yy}	60	-2.9624E-2	-2.9633E-2	0.032%
ε_{xy}	60	5.4912E-2	5.4929E-2	0.032%

4.2 Paramètres d'exécution

Version : 5.07.02

Machine : SGI ORIGINI 2000 - R12000

Encombrement mémoire : 300 Mo

Temps CPU User : 70 secondes

5 Synthèse des résultats

Les résultats obtenus avec le *Code_Aster* sont proches de ceux de la solution de référence (écarts < 0.05%)